

محاسبه تحلیلی نشت از اراضی ماندابی به نهرهای زهکشی با استفاده از نگاشت همدیس

علی افروزی^{۱*}، امیر حسین ناظمی^۲، سید علی اشرف صدرالدینی^۳ و اصغر رنجبری^۴

چکیده

zechkeši در کشاورزی اهمیت بالای دارد و بدون آن کشاورزی پایدار ممکن نیست. در صورتی که اراضی کشاورزی به صورت طبیعی زهکشی نشوند ایجاد زهکشی مصنوعی از الزامات کشاورزی می‌باشد. حفر نهرهای زهکشی یکی از روش‌های مرسوم به منظور زهکشی مصنوعی می‌باشد. بررسی روابط جریان آب به سمت انها زهکشی از جمله مسائل مورد علاقه محققان فن زهکشی است. در این تحقیق، راه حل تحلیلی برای محاسبه نشت ماندگار آب از اراضی ماندابی به نهرهای زهکشی ارائه شده است. این نهرها با مقاطعه مستطیلی و فواصل برابر از یکدیگر، در محیط خاکی همگن و همرونده در بالای یک لایه غیر قابل نفوذ به صورت موازی با یکدیگر در خاک حفر شده‌اند. به منظور استخراج روابط دبی و سرعت، ابتدا پلان‌های هدوگراف و پتانسیل مختلط با توجه به شرایط مرزی پلان فیزیکی رسم و سپس رابطه‌های نگاشت همدیس پلان‌های فیزیکی و هدوگراف بر روی پلان کمکی با استفاده از تبدیل شوارتز-کریستوفل معلوم شدند. از قاعده زنجیری برای یافتن رابطه بین پلان پتانسیل مختلط و پلان کمکی استفاده شد. با این روش می‌توان دبی و سرعت نشتی را محاسبه و در طراحی انها زهکشی استفاده نمود. نتایج این تحلیل نشان داد که اختلاف سرعت نشت در سطح ماندابی در مجاورت نهر نسبت به فاصله وسط بین دو نهر بسیار بالا است که در نتیجه آن، آبشویی در زمین به طور غیر یکنواخت صورت می‌گیرد.

واژه‌های کلیدی: تبدیل شوارتز-کریستوفل، حل تحلیلی، زهکشی، نشت، نگاشت همدیس، نهر

Warrick (1966), Kirkham and Powers (1964)

,Youngs (1975, 1982 and 1992) and Kirkham (1969)

Ilyinsky and Kacimov (1992), Sharma et al. (1991)

Kacimov, Barua and Tiwari (1995, 1966a and 1966b)

Bereslavskii (2006 and)and Obnosov (2002 and 2006)

Chahar and Römkens (2009), Kacimov (2006, 2008)

Vadodaria (2011) اشاره کرد.

Chahar and Vadodaria (2008a and) Youngs (1994)

(2008b) مسئله نشت از زمین ماندابی به یک نهر زهکشی را با

استفاده از نگاشت همدیس مورد بررسی قرار دادند. از محدودیت‌های

تحلیل Youngs (1994) می‌توان به در نظر گرفتن تنها یک نهر

zechkeši که عرض آن ناچیز و تمی از آب می‌باشد اشاره کرد. در نظر

نگرفتن تأثیر عمق لایه غیر قابل نفوذ بر جریان نشت به نهر زهکشی

محدودیتی است که در تحلیل Chahar and Vadodaria (2008a

and 2008b) وجود دارد. مقاله حاضر توسعه‌ای بر این دو تحقیق

می‌باشد که محدودیت‌های اشاره شده در آن وجود ندارد.

هدف تحقیق حاضر ارائه یک راه حل تحلیلی برای بررسی جریان

نشت آب از یک سطح ماندابی به نهرهای زهکشی است. در این

تحقیق از نگاشت همدیس پلان‌های فیزیکی و هدوگراف بر روی

پلان کمکی استفاده شده و روابطی برای محاسبه دبی نشت یافته به

مقدمه

از الزامات یک کشاورزی پایدار وجود یک شبکه زهکشی با عملکرد مطلوب است. زهکشی می‌بایست تعادل رطوبت و نمک را در خاک برقرار نموده و آب مازاد را از زمین زراعی خارج کند. حفر نهرهای زهکشی یکی از روش‌های مرسوم زهکشی می‌باشد. پژوهشگران فن زهکشی همواره سعی نموده‌اند با ارائه مدل‌هایی، به تحلیل نشت آب به انها زهکشی پیروزی داشته باشند. استفاده از تحلیل‌های ریاضی یکی از قدرتمندترین ابزارهایی است که کمک شایان توجهی به متخصصین زهکشی کرده تا این مسئله را مورد بررسی قرار دهند. در خصوص تحلیل‌های صورت گرفته در زمینه نشت آب به زهکش می‌توان به تحقیقات انجام یافته توسط Aronovici and Kirkham and van Donnan (1946), Donnan (1946), Kirkham (1950, 1958, 1960, 1965 and), Bavel (1948), Fukuda (1957), van Schilfgaarde et al. (1956), (1966)

۱- دانش‌آموخته کارشناسی ارشد آبیاری و زهکشی دانشگاه تبریز

(*) - نویسنده مسئول: a.afrouzi@gmail.com

۲-۳- به ترتیب استاد و دانشیار گروه مهندسی آب دانشکده کشاورزی دانشگاه تبریز

۴- استادیار دانشکده ریاضی دانشگاه تبریز

$$z = M_1 \int_1^{\zeta} \frac{dt}{\sqrt{t-1} \sqrt{t+\alpha} \sqrt{t+\beta} \sqrt{t+\delta}} + N_1 \quad (1)$$

در رابطه فوق و سایر روابط t متغیر مجازی است، α و β پارامترهای کمکی نگاشت می‌باشند، M_1 و N_1 ثابت‌های انتگرال‌گیری می‌باشند. متغیر مجازی متغیری است اختیاری که به طور موقت در نگاشت استفاده می‌شود. با جای‌گذاری دو نقطه ζ و $A(z=0; \zeta=+\infty)$ در رابطه (۱) و $C(z=-iH_0)$ پس از حل هم‌زمان و ساده سازی، M_1 و N_1 معلوم شدند و رابطه زیر به دست آمد:

$$z = \frac{-iH_0}{I_1} \int_1^{\zeta} \frac{dt}{\sqrt{t-1} \sqrt{t+\alpha} \sqrt{t+\beta} \sqrt{t+\delta}} \quad (2)$$

که در رابطه فوق I_1 به صورت زیر است:

$$I_1 = \int_1^{+\infty} \frac{dt}{\sqrt{(t-1)(t+\alpha)(t+\beta)(t+\delta)t}} \quad (3)$$

انتگرال‌هایی چون (۳) را انتگرال هایپر بیضوی می‌نامند. Byrd and Friedman (1971) اظهار می‌دارند که برای بررسی این انتگرال‌ها بهتر است از روش‌های حل عددی بهره برد. از نگاشت پلان هدوگراف بر روی پلان کمکی با استفاده از تبدیل شوارتز-کریستوفل رابطه زیر حاصل شد:

$$\frac{dw}{dz} = M_2 \int_{-\delta}^{\zeta} \frac{(\theta-t)(t+\gamma)dt}{(\eta-t)\sqrt{t-1}\sqrt{t+\beta}\sqrt{t+\delta}} + N_2 \quad (4)$$

دو ثابت انتگرال M_2 و N_2 از جای‌گذاری دو نقطه فوق معلوم شدند و پس از حل هم‌زمان و ساده سازی، رابطه زیر به دست آمد:

$$\frac{dw}{dz} = \frac{-k}{I_2} \int_{-\delta}^{\zeta} \frac{(\theta-t)(t+\gamma)dt}{(\eta-t)\sqrt{(1-t)(t+\beta)(t+\delta)}} \quad (5)$$

که در رابطه فوق γ ، η و θ متغیرهای کمکی و هدايت هیدرولیکی اشباع خاک می‌باشند. I_2 به صورت زیر است و حل آن در رابطه (۲۳) پیوست ارائه شده است.

$$I_2 = \int_{-\delta}^1 \frac{(\theta-t)(t+\gamma)dt}{(\eta-t)\sqrt{(1-t)(t+\beta)(t+\delta)}} \quad (6)$$

با توجه به قاعده زنجیری در ریاضیات داریم:

$$\frac{dw}{d\zeta} = \frac{dw}{dz} \frac{dz}{d\zeta} \quad (7)$$

با مشتق‌گیری از رابطه (۲) ζ / dz معلوم می‌شود و از رابطه (۵) معلوم است. جای‌گذاری ζ / dz در رابطه (۷) و انتگرال‌گیری از آن و استفاده از نقطه $w = 0; \zeta = 0$ برای محاسبه ثابت انتگرال رابطه زیر را به دست داد:

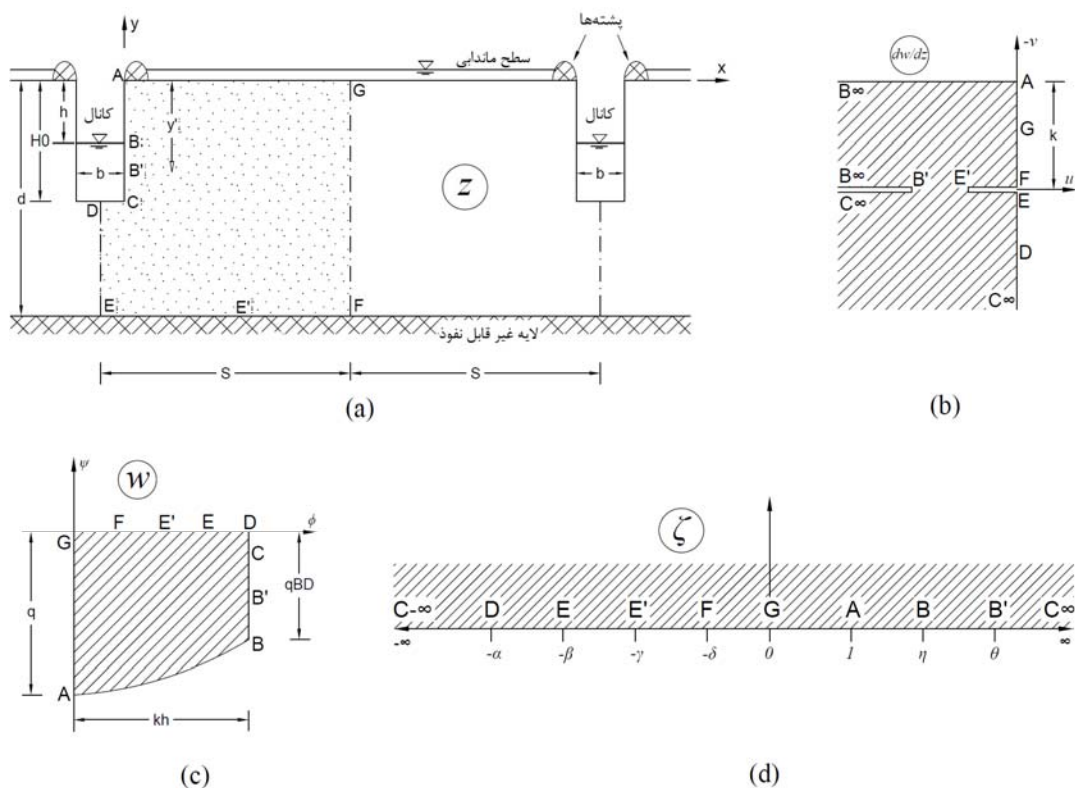
نهر زهکشی، سرعت نشت ورودی در سطح ماندابی و سرعت نشت در روی خط تقارن بین دو نهر مجاور ارائه شده است.

حل تحلیلی

به اجمال مفاهیم اساسی در این تحلیل بدین ترتیب است که پتانسیل مختلط $\phi + i\psi = w$ در نظر گرفته می‌شود که در آن ϕ پتانسیل سرعت (m^2/s) که برابر با منفی بار آبی کل در هدايت هیدرولیکی به اضافه مقداری ثابت است و ψ تابع جریان (m^2/s) که در طول یک خط جریان مقداری ثابت است. اگر پلان فیزیکی مسئله را $z = x + iy$ تعریف کنیم، که در آن x و y محورهای مختصاتی و i عدد موهومی می‌باشد، آنگاه می‌توان با توجه به قانون دارسی، سرعت در جهت محورهای مختصاتی x و y را به ترتیب برابر با $u = \partial\phi/\partial x$ و $v = \partial\phi/\partial y$ به دست آورد. تبدیل ناحیه جریان از صفحه $W = dw/dz = u - iv$ به $z = x + iy$ به هدوگراف سرعت را می‌توان به همراه نگاشت همدیس مورد استفاده قرار داد تا یک حل دقیق تحلیلی برای مسائل با مرز آزاد پیدا کرد. شکل ۱-a گلوبی از جریان نشت ماندگار به سمت نهرهای زهکشی را نشان می‌دهد. در این شکل فرض شده است که عمق ماندابی بر روی سطح خاک ناچیز است و بر گلوبی نشت آب به نهر تأثیر نمی‌گذارد. رژیم جریان آب به سمت زهکش‌ها ماندگار و سرعت جریان آب در نیمرخ خاک در حدی است که قانون دارسی دارای اعتبار است. با توجه به اینکه طول نهرهای زهکشی به طور معناداری زیاد است می‌توان فرض کرد که جریان به سمت نهرهای زهکشی دو بعدی و در صفحه قائم می‌باشد. ضریب هدايت هیدرولیکی خاک همگن و هم‌روند است. جریان مستقیم آب از سطح خاک به نهر زهکشی وجود ندارد و از ورود جریانات سطحی به داخل نهر زهکشی به وسیله پشتۀ‌هایی که عرض آن‌ها بسیار ناچیز است جلوگیری می‌شود. با توجه به تقارن در شکل ۱-a روابط برای نیمی از ناحیه جریان استخراج می‌شود و سپس این روابط برای کل نیمرخ خاک قابل بسط خواهد بود. در این شکل ناحیه مورد بررسی چند ضلعی $ABB' CDEE' FGA$ می‌باشد. پلان هدوگراف با توجه به مراحل استاندارد (۱۹۶۲) Harr (1962) و Polubarnova-Kochina (1962) در شکل b Strack (1989) در طول خط AG پتانسیل سرعت صفر در نظر گرفته می‌شود در شکل ۱-c رسم شده است.

نگاشت پلان‌ها

با استفاده از تبدیل شوارتز-کریستوفل (۱۹۶۲) Harr، Polubarnova-Kochina (1962) نگاشت پلان فیزیکی z بر روی پلان کمکی ζ به صورت زیر به دست آمد:



شکل ۱- پلان‌های مورد نیاز برای تحلیل زهکشی زمین ماندابی؛ (a) پلان فیزیکی مسئله؛ (b) پلان هدوگراف؛ (c) پلان پتانسیل مختلط؛ (d) پلان کمکی

تعیین پارامترهای کمکی

پارامترهای کمکی α , β و δ به ابعاد نهر، عمق نیمرخ خاک و فاصله بین نهرها بستگی داشته و پارامترهای کمکی η , γ , θ علاوه بر این موارد، به عمق آب در نهر نیز بستگی دارند. این شش پارامتر کمکی در چهار مرحله قابل تعیین هستند. با جای‌گذاری $F(z=S-b/2-id)$; $D(z=-b/2-iH_0)$; $\zeta=-\alpha$ نقاط $(z=S-b/2-iD)$ و $G(z=S-b/2)$; $\zeta=0$ در B ($z=-ih$; $\zeta=\eta$) و R ($z=-id$; $\zeta=-\delta$) رابطه (۲) به ترتیب روابط زیر به دست آمدند.

$$\frac{d-H_0}{H_0} = \frac{1}{I_1} \int_{\beta}^{\alpha} \frac{dt}{\sqrt{(t+1)(\alpha-t)(t-\beta)(t-\delta)t}} \quad (11)$$

$$\frac{S}{H_0} = \frac{1}{I_1} \int_{\delta}^{\beta} \frac{dt}{\sqrt{(t+1)(\alpha-t)(\beta-t)(t-\delta)t}} \quad (12)$$

$$\frac{S-b/2}{H_0} = \frac{1}{I_1} \int_0^1 \frac{dt}{\sqrt{(1-t)(t+\alpha)(t+\beta)(t+\delta)t}} \quad (13)$$

$$\frac{h}{H_0} = \frac{1}{I_1} \int_1^{\eta} \frac{dt}{\sqrt{(t-1)(t+\alpha)(t+\beta)(t+\delta)t}} \quad (14)$$

با حل هم زمان چهار رابطه فوق، مقادیر α , β , δ و η معلوم می‌شوند. برای حل هم‌zman دستگاه معادلاتی غیر خطی فوق از

$$w = \frac{ikH_0}{I_1 I_2} \int_0^{\zeta} \frac{(\theta-t)(t+\gamma)}{\sqrt{\zeta-1}\sqrt{\zeta+\alpha}\sqrt{\zeta+\beta}\sqrt{\zeta+\delta}\sqrt{\zeta}} dt \quad (8)$$

رابطه (۸) را می‌توان به صورت زیر باز نویسی نمود:

$$w = C_1 \int_0^{\zeta} \frac{(\theta-t)(t+\gamma) dt}{\sqrt{\zeta-1}\sqrt{\zeta+\alpha}\sqrt{\zeta+\beta}\sqrt{\zeta+\delta}\sqrt{\zeta}} + C_2 \quad (9)$$

با جای‌گذاری دو نقطه $(w=0; \zeta=0)$ و $(w=kh; \zeta=0)$ در رابطه فوق C_1 و C_2 معلوم شدند و رابطه (۹) به صورت زیر بازنویسی شد:

$$w = \frac{kh}{I_3} \int_0^{\zeta} \frac{(\theta-t)(t+\gamma) dt}{\sqrt{\zeta-1}\sqrt{\zeta+\alpha}\sqrt{\zeta+\beta}\sqrt{\zeta+\delta}\sqrt{\zeta}} \quad (10)$$

در رابطه (۲۴) پیوست - الف ارائه شده است. برای اطلاع از جزئیات روابط نگاشت پلان‌ها و سایر قسمت‌هایی که در ادامه آمده است به افزایش (۱۳۹۰) مراجعه شود.

$$q = \frac{kH_0}{I_1 I_2} \int_0^1 \frac{f_d(\zeta) d\zeta}{\sqrt{(1-\zeta)(\zeta+\alpha)(\zeta+\beta)(\zeta+\delta)}} \quad (20)$$

علاوه بر رابطه فوق که برای دبی نشتی به نهر زهکشی به دست آمد، با جایگذاری $\zeta = 1$ در (۲۰) رابطه دومی برای تعیین q به صورت زیر به دست آمد:

$$q = \frac{kh}{iI_3} \int_0^1 \frac{f_d(\zeta) d\zeta}{\sqrt{(1-\zeta)(\zeta+\alpha)(\zeta+\beta)(\zeta+\delta)}} \quad (21)$$

دو رابطه (۲۰) و (۲۱) هر دو مقدار دبی نشت به نهر زهکشی از یک طرف نهر را به دست می‌دهند. با توجه به اینکه این دو رابطه به طور مستقل از یکدیگر به دست آمده‌اند تنها در حالتی مقدار q از این دو رابطه یکسان به دست می‌آید که فرآیند تحلیل مسئله و تعیین پارامترهای کمکی به درستی صورت گرفته باشد. اگر مقادیر پارامترهای کمکی با دقت پایین و یا یکی از پارامترها به صورت اشتباه در معادله‌های (۲۰) و (۲۱) جایگذاری شوند آنگاه این دو معادله مقادیر متفاوتی از دبی نشت به دست می‌دهند که نشان از وجود خطأ و یا اشتباه در محاسبات می‌باشد.

دبی زهکشی از سطح نشتی و غیر نشتی نهر

دبی ورودی به نهر زهکشی (q) را می‌توان به صورت $q = q_{AB} + q_{BD}$ بیان کرد که q_{AB} دبی ورودی از سطح نشتی (دبی ورودی از بخش AB در شکل ۱-a) و q_{BD} دبی ورودی از سطح غیر نشتی (دبی ورودی از بخش BD در شکل ۱-a) می‌باشد. با جایگذاری نقطه B در رابطه (۸)، رابطه (۲۲) برای محاسبه مقدار q_{AB} به صورت زیر به دست آمد:

$$q_{AB} = \frac{kH_0}{I_1 I_2} \int_1^\eta \frac{f_e(\zeta) d\zeta}{\sqrt{(\zeta-1)(\zeta+\alpha)(\zeta+\beta)(\zeta+\delta)}} \quad (22)$$

که در آن $f_e(\zeta)$ در رابطه (۳۰) آورده شده است. توجه شود که رابطه (۲۲) تنها مقدار دبی از سطح نشتی روی دیواره عمودی نهر را به دست می‌دهد و اگر نهر از آب خالی باشد، دبی نشت شده از کف نهر را در نظر نمی‌گیرد (اگرچه در نهر زهکشی خالی از آب، کف نهر زهکشی سطح نشتی به حساب می‌آید). با توجه به روابط (۲۰)، (۲۲) و $q_{BD} = q - q_{AB}$ می‌توان دبی زهکشی از سطح غیر نشتی q_{BD} را محاسبه نمود.

رونده تحلیل را به طور خلاصه می‌توان اینگونه بیان نمود که پلان‌های هدوگراف و پتانسیل مختلط با توجه به شرایط مرزی در پلان فیزیکی رسم شدند (شکل ۱). سپس با استفاده از تبدیل شوارتز-کریستوفل پلان فیزیکی مسئله بر روی پلان کمکی به طور همیس نگاشته شد (رابطه ۲) که در این نگاشت پارامترهای کمکی ظاهر شدند که با توجه به شرایط مرزی و رابطه (۲) روابطی برای تعیین این پارامترها ارائه شد. پلان هدوگراف با استفاده از تبدیل

الگوریتم بهینه‌سازی جامعه مورچگان پیوسته استفاده شد. پس از معلوم شدن پارامترهای کمکی α, β, δ و η برای یافتن γ و θ دو رابطه زیر به صورت همزمان حل می‌شوند.

$$\begin{aligned} & \int_\delta^\gamma \frac{(t+\theta)(\gamma-t) dt}{(t+\eta)\sqrt{(t+1)(\beta-t)(t-\delta)}} \\ & - \int_\gamma^\beta \frac{(t+\theta)(t-\gamma) dt}{(t+\eta)\sqrt{(t+1)(\beta-t)(t-\delta)}} = 0 \end{aligned} \quad (15)$$

$$iI_3 = I_2 \int_1^\eta \frac{dt}{\sqrt{(t-1)(t+\alpha)(t+\beta)(t+\delta)t}} \quad (16)$$

حل دو انتگرال ظاهر شده در رابطه (۱۵) به ترتیب در روابط (۳۱) و (۳۲) پیوست - الف آورده شده است.

سرعت نشت آب

بردار سرعت نشت آب به سمت نهر زهکشی در طول سطح ماندابی و خط تقارن بین دو نهر مجاور (به ترتیب خطوط AG و GF در شکل ۱-a) به صورت عمودی است و مؤلفه افقی سرعت در $u = GF$ و AG و با استفاده از رابطه (۵) ۰ می‌باشد. با توجه به $dw/dz = u - iv$ و با استفاده از رابطه (۱۶) رابطه زیر برای تعیین سرعت نشت بر روی این دو خط به دست آمد:

$$v = \frac{-k}{I_2} f_d(\zeta), \quad -\delta < \zeta < 1 \quad (17)$$

که تعريف $f_d(\zeta)$ در رابطه (۲۹) آورده شده است. برای تعیین سرعت نشت آب از رابطه (۱۷) در هر نقطه روی دو خط AG یا GF ابتدا مقدار پارامتر کمکی ζ از رابطه‌های (۱۸) یا (۱۹) برای آن نقطه معلوم شده و سپس در رابطه (۱۷) جایگذاری می‌شود.

$$\frac{x}{H_0} = \frac{1}{I_1} \int_\zeta^1 \frac{dt}{\sqrt{(1-t)(t+\alpha)(t+\beta)(t+\delta)t}}, \quad (18)$$

$$0 < \zeta < 1, \quad 0 < x < S - b / 2$$

$$\frac{y}{H_0} = \frac{-1}{I_1} \int_\zeta^0 \frac{dt}{\sqrt{(1-t)(t+\alpha)(t+\beta)(t+\delta)(-t)}}, \quad (19)$$

$$-\delta < \zeta < 0, \quad -d < y < 0$$

رابطه‌های (۱۸) و (۱۹) از رابطه (۲) به دست آمده‌اند و مقدار پارامتر کمکی ζ را به ترتیب روی خطوط AG و GF تعیین می‌نمایند. مقدار سرعت در نقطه A که در آن $\zeta = 1$ است با توجه به رابطه (۱۷) برابر $v_A = -k$ به دست می‌آید.

دبی زهکشی

مقدار دبی زهکشی شده به نهر از یک طرف نهر q با جایگذاری $\zeta = 1$ در رابطه (۸) به دست آمد.

دلخواه بر روی خط تقارن بین دو نهر مجاور از لایه غیر قابل نفوذ یا به عبارت دیگر $H = d + y$ می‌باشد. توزیع سرعت برای نسبت ابعاد فیزیکی معلوم و نهر خالی ($h/H_0 = 1.0$)، نهر 20 درصد پر ($h/H_0 = 0.8$)، نهر 40 درصد پر ($h/H_0 = 0.6$)، نهر 60 درصد پر ($h/H_0 = 0.4$) و نهر 80 درصد پر ($h/H_0 = 0.2$) رسم شده است. با توجه به این شکل‌ها، هرچه از لبه نهر (نقطه A) به سمت وسط دو نهر زهکش (نقطه G) حرکت نماییم، از سرعت نفوذ آب کاسته می‌شود.

با توجه به شکل 2 می‌توان به بررسی تأثیر عرض نهر بر نحوه توزیع سرعت نشت ورودی در سطح ماندابی و خط تقارن بین دو نهر مجاور پرداخت. در این شکل مشاهده می‌شود که کاهش عرض نهر از فاصله وسط دو نهر زهکشی (نقطه G در شکل $1-a$) برای یک نهر خالی ($h/H_0 = 1.0$) از $v = 0.7983k$ به $v = 0.6309k$ کاهش پیدا کند. به عبارت دیگر 21 درصد کاهش در سرعت دبی ایجاد شده است. این کاهش سرعت ناشی از دو دلیل می‌باشد؛ یکی اینکه کاهش عرض نهر باعث شده فاصله لبه نهر از وسط دو نهر زهکشی افزایش پیدا کند و هرچه فاصله از لبه نهر بیشتر باشد، به طور قطع سرعت نشت ورودی به سطح ماندابی و سرعت نشت در روی خط تقارن بین دو نهر مجاور کاهش پیدا می‌کند. جنبه دیگری که باعث این کاهش سرعت خواهد شد تأثیر عرض نهر زهکشی می‌باشد. این عامل در شکل 3 توضیح داده شده است. دو دسته ابعاد فیزیکی در این شکل به نحوی انتخاب شده‌اند که فاصله نقطه میانی دو نهر از لبه‌های نهر با یکدیگر برابر باشند. به طوری که برای هر دو دسته ابعاد $b/H_0 = 0.5$ و $S/H_0 = 1.0$ ، $b/H_0 = 1.25$ و $S/H_0 = 1.0$ در شکل 3 فاصله نقطه وسط دو نهر زهکش از لبه نهر در $(b/2)/H_0 = 0.75$ می‌باشد. بدین ترتیب در این شکل از دو عامل تأثیر گذار، تنها اثر عرض نهر زهکشی بر روی توزیع سرعت نشت مشاهده می‌شود. در شکل 3 افزایش عرض نهر زهکشی از 0.5 به 1 باعث شده است سرعت نشت در سطح ماندابی و خط تقارن بین دو نهر مجاور افزایش پیدا کند. این افزایش سرعت نشت به ویژه در خط تقارن بین دو نهر مجاور مشهودتر است.

از شکل 4 می‌توان دریافت که افزایش فاصله نهرها باعث می‌شود سرعت نشت در سطح ماندابی و خط تقارن بین دو نهر مجاور کاهش پیدا کند. به طوری که برای اگر نهر از آب تهی باشد افزایش مقدار S/H_0 از 2 به 5 باعث کاهش سرعت در نقطه میانی دو زهکش از $0.3523k$ به $v = 0.0323k$ خواهد شد و به عبارت دیگر کاهش درصدی سرعت را به همراه خواهد داشت.

شوارتز-کریستوفل بر روی پلان کمکی نگاشته شد (رابطه 5) که از این نگاشت رابطه سرعت (رابطه 17) بر روی سطح ماندابی و خط تقارن بین دو نهر به دست آمد. با استفاده از قاعده زنجیری و روابطی که از نگاشت پلان‌های فیزیکی و هدوگراف بر روی پلان کمکی به دست آمده بود رابطه (8) و (9) به دست آمدند که از این رابطه‌ها به ترتیب روابط (20) و (21) و سایر روابط دبی از سطح نشتی و غیر نشتی برای محاسبه دبی به دست آمدند.

مثال

زمینی با خاک همگن و همرونده با هدایت هیدرولیکی $2/5$ متر بر روز و عمق لایه غیر قابل نفوذ 6 متر، توسط انهر زهکشی موازی با يكديگر با عرض 0.5 و عمق 2 متر، عمق آب در نهر 0.8 متر و فواصل 20 متر از يكديگر زهکشی می‌شود. پارامترهای کمکی با توجه به ابعاد ارایه شده محاسبه شدند:

$$\alpha = 8.0942, \beta = 0.4820, \gamma = 0.2387,$$

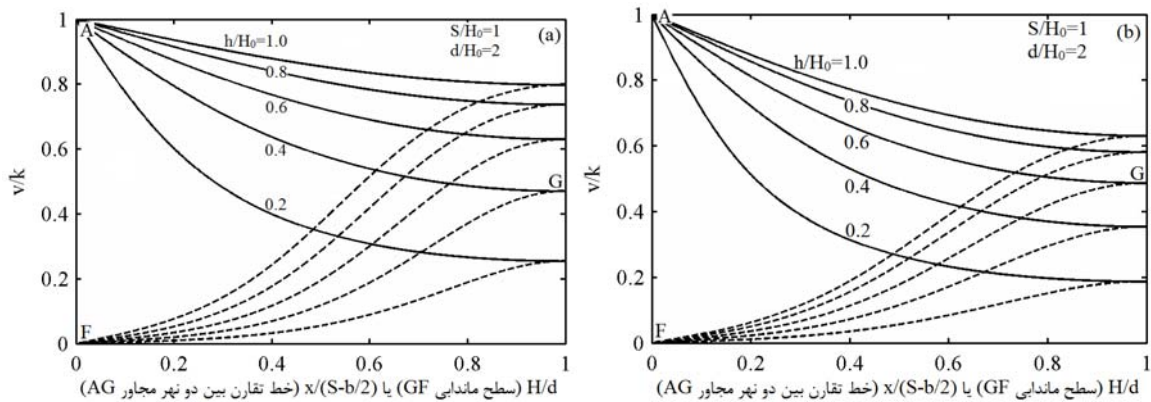
$$\delta = 0.0287, \eta = 1.5333, \theta = 2.9328$$

سرعت نشت در هر نقطه در طول سطح ماندابی و خط تقارن بین دو نهر مجاور با استفاده از رابطه (17) قابل تعیین است. به طور مثال سرعت در نقطه وسط فاصله دو زهکش، که در آن $v_G = 0$ است، سرعت در نقطه $v_G = -0.0858 m/day$ می‌باشد. برای نقطه‌ای در سطح ماندابی که فاصله اش از لبه نهر 2 متر می‌باشد، $v = 0.4795$ است و مقدار سرعت در نقطه‌ای بر روی خط تقارن بین دو نهر مجاور که فاصله آن از لایه نفوذ ناذیر 4 متر می‌باشد $v = -0.0073$ است. به دست آمد که با توجه به آن سرعت در این نقطه $v = 0.0732 m/day$ به دست آمد.

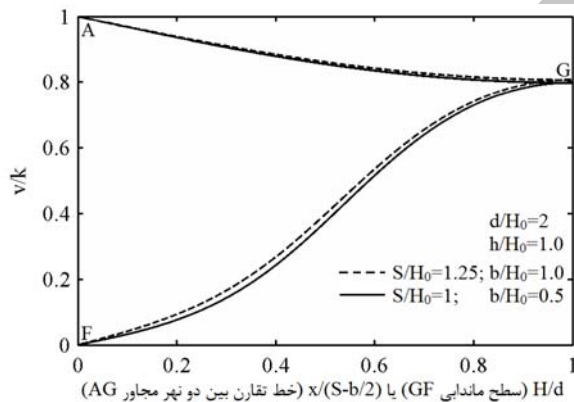
مقدار دبی نشت شده به نهر زهکش از یک طرف نهر با استفاده از رابطه (20) $q = 2.1416 m^3/day$ و همین دبی با توجه به رابطه (21) برابر $q = 2.1416 m^3/day$ برای یک متر طول نهر 7×10^{-12} به دست آمد که نشان می‌دهد مقدار خطأ در تعیین دبی می‌باشد. کل دبی نشت شده به نهر زهکش از رابطه $Q = 2q$ برای یک متر طول نهر به دست آمد که مقدار آن برابر $Q = 4.2832 m^3/day$ می‌باشد. مقدار دبی نشت شده به نهر زهکش از یک طرف نهر به دست آمد. مقدار دبی از سطح غیرنشستی $q_{AB} = 0.7367 m^3/day$ و از سطح $q_{BD} = 1.4049 m^3/day$ برای یک متر طول نهر به دست آمد.

نتایج و بحث

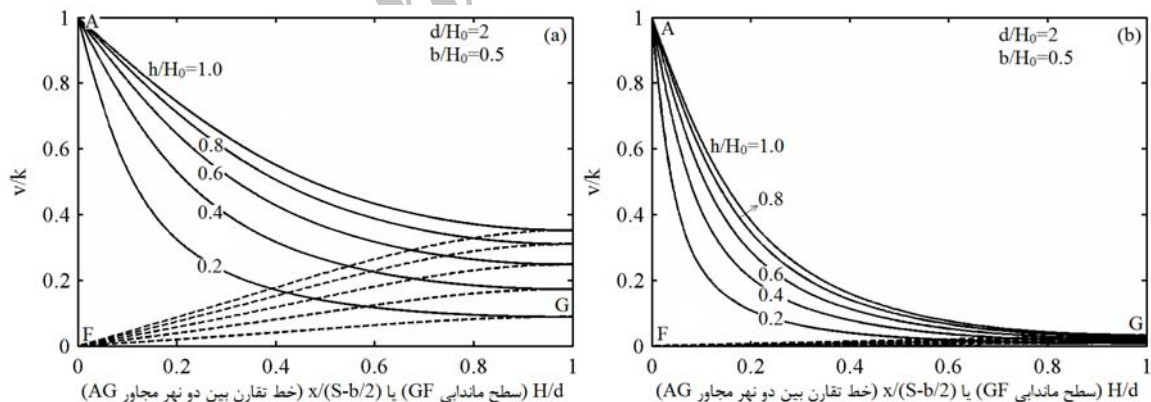
چگونگی توزیع سرعت نشت بر روی خطوط AG و GF (شکل $1-a$) را با بررسی نمودارهای رسم شده در شکل‌های $2, 3, 4$ و 5 می‌توان دریافت. در این شکل‌ها منظور از H فاصله هر نقطه



شکل ۲- تأثیر عرض نهر زهکشی بر توزیع سرعت نشت ورودی در سطح ماندابی (AG) و خط تقارن بین دو نهر مجاور (GF) (a) : $b/H_0=0.5$ (b) : $b/H_0=0.05$



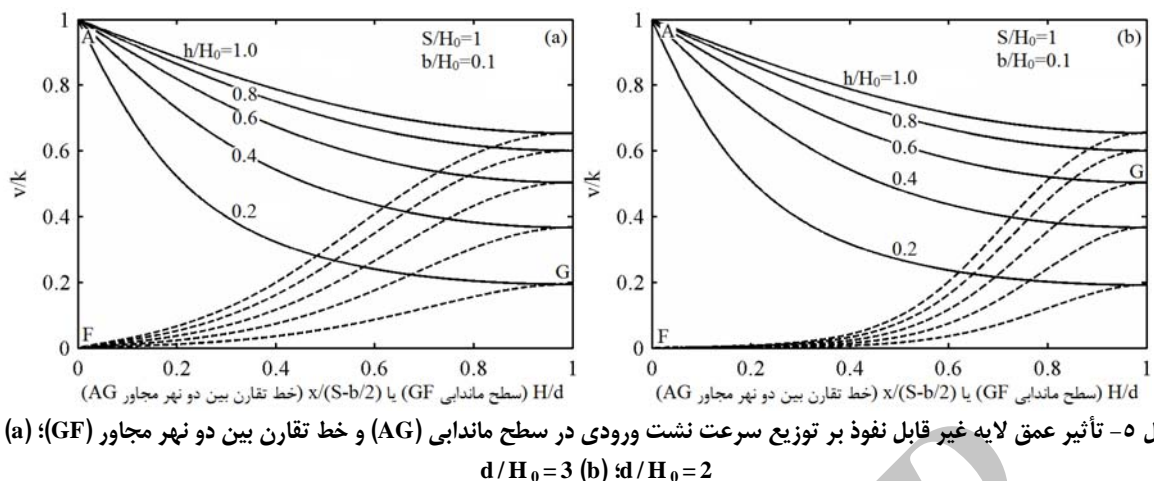
شکل ۳- تأثیر عرض نهر زهکشی بر توزیع سرعت نشت ورودی در سطح ماندابی (AG) و خط تقارن بین دو نهر مجاور (GF) در شرایطی که عامل موثر بر توزیع سرعت نشت تنها عرض نهر زهکشی باشد.



شکل ۴- تأثیر فاصله نهر بر توزیع سرعت نشت ورودی در سطح ماندابی (AG) و خط تقارن بین دو نهر مجاور (GF) (a) : $S/H_0=2$ (b) : $S/H_0=5$

ترتیب که در منحنی‌ها با $d / H_0 = 3$ سرعت روی خط تقارن بین دو نهر مجاور ناگهانی‌تر از سرعت در نمودارهای $d / H_0 = 2$ افت می‌کند.

با توجه به شکل ۵ مشاهده شد که افزایش عمق لایه غیر قابل نفوذ از $d / H_0 = 2$ به $d / H_0 = 3$ باعث شده است توزیع سرعت نشت در خط تقارن بین دو نهر مجاور یکسان نباشد، بدین



شکل ۵- تأثیر عمق لایه غیر قابل نفوذ بر توزیع سرعت نشت ورودی در سطح ماندابی (AG) و خط تقارن بین دو نهر مجاور (GF):

$S/H_0 = 1$; $b/H_0 = 0.1$

می‌شود مقدار دبی کل در طول واحد نهر، q ، از $8/1589$ به $8/5439$ متر مکعب در روز (۵ درصد) افزایش پیدا کند.

نتیجه‌گیری و پیشنهادها

کنترل نمک و رطوبت خاک مزارع معمولاً به وسیله نهرها و یا لوله‌های زهکشی انجام می‌پذیرد، که هر کدام دارای مزايا و معایبي است. مهم‌ترین مزيت‌های انهار رواباز زهکشی را می‌توان در ساخت آسان، هزینه اولیه پایین و قابلیت تخلیه دبی‌های زیاد آب دانست و از معایب مهم آن می‌توان به مختلط نمودن عملیات کشاورزی، تلفات زمین، نیاز به نگهداری و تعمیر مرتب و پایداری ضعیف دیواره‌های نهر اشاره کرد (Luthin, 1966). با این حال در برخی شرایط، زهکشی به وسیله نهرها بر زهکشی به وسیله لوله ترجیح داده می‌شود.

تحلیل ارائه شده در این تحقیق، شرایط را مطابق شکل ۱-a در نظر می‌گیرد. این شرایط مرزی را می‌توان در دو حالت به واقعیت نزدیک دانست؛ اولین حالت در مزارعی است که به منظور احیاء و آب‌شوبی غرقابی می‌شوند و حالت دیگر در مزارعی که به واسطه سیل غرقابی شده‌اند و آب روی مزرعه در مرحله اول توسط زهکشی سطحی تخلیه شده است. در مرحله بعد برای عمق‌های ماندابی کوچک، نهر به صورت زهکشی عمیق این آب را تخلیه می‌کند (Chahar and Vadodaria, 2008b).

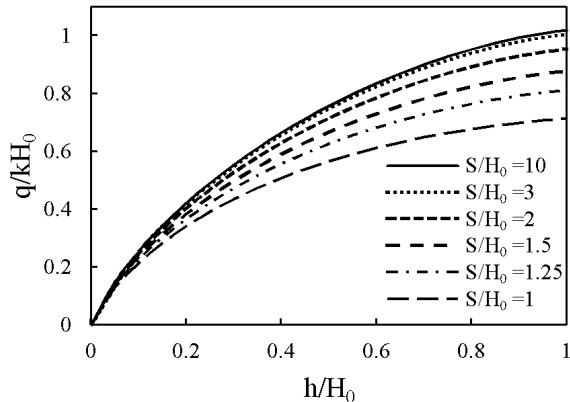
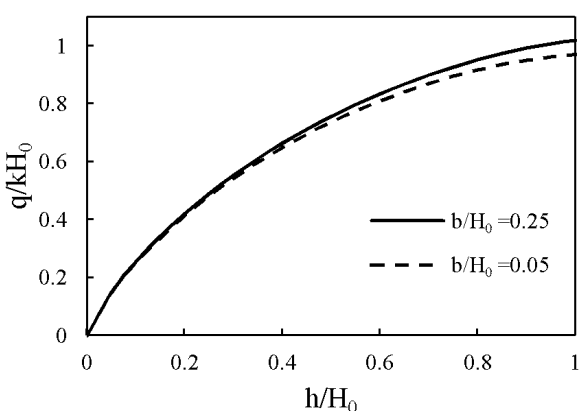
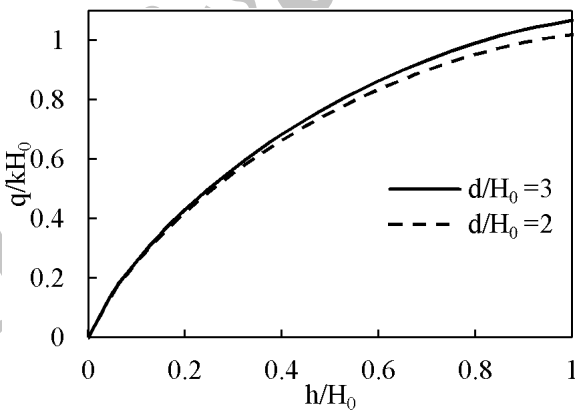
با توجه به شکل‌هایی که توزیع سرعت نشت ورودی در سطح ماندابی و خط تقارن بین دو نهر مجاور را نشان می‌دهند می‌توان دریافت که شستشوی خاک یکنواخت صورت نمی‌گیرد، بلکه عمدتاً آب نشست شده به نهر از فواصل نزدیک به نهر نشست می‌کند.

دبی نشستی به نهر زهکش

از شکل ۶ می‌توان دریافت افزایش فاصله نهرها از یکدیگر باعث افزایش مساحت زمین تحت زهکشی برای هر نهر زهکشی می‌شود و در نتیجه آن، دبی نشست شده به زهکش افزایش می‌یابد. اما باید توجه داشت که افزایش دبی نشستی در اثر افزایش فواصل نهرها تنها در فواصل متداول تأثیر تعییر در فاصله نهرها بر مقدار دبی چشمگیر نخواهد بود. به طور مثال در شکل ۱۶ اگر عمق نهر، H_0 ، برابر ۲ متر، هدایت هیدرولیکی اشباع خاک، k ، ۲ متر در روز و نهر تهی از آب باشد اگر فاصله بین دو نهر زهکش، $2S$ ، از 4 متر به 5 متر افزایش پیدا کند مقدار دبی کل در طول واحد نهر، q ، از $8/5748$ به $8/4912$ متر مکعب در روز (۴ درصد افزایش دبی) در حالی که برای همین ابعاد افزایش فاصله انهار از 12 متر به 40 متر باعث افزایش مقدار دبی در طول واحد نهر از $8/1589$ به $8/4971$ متر مکعب در روز (۱ درصد افزایش دبی) خواهد شد.

با توجه به شکل ۷ مشاهده می‌شود با افزایش عرض نهر زهکشی، دبی نشست شده به نهر زهکشی افزایش می‌یابد. در این شکل اگر عمق نهر، H_0 ، برابر ۲ متر، فاصله انهار از یکدیگر، $2S$ ، ۴۰ متر، هدایت هیدرولیکی اشباع خاک، k ، ۲ متر در روز و نهر تهی از آب باشد، افزایش عرض نهر زهکشی از $1/10$ متر به $1/5$ متر باعث می‌شود مقدار دبی کل در طول واحد نهر، q ، از $8/7716$ به $8/1589$ متر مکعب در روز (۵ درصد) افزایش پیدا کند.

با توجه شکل ۸ مشاهده می‌شود که با افزایش عمق لایه غیر قابل نفوذ، دبی نشست شده به نهر زهکشی نیز افزایش می‌یابد. در این شکل اگر عمق نهر، H_0 ، برابر ۲ متر، فاصله انهار از یکدیگر، $2S$ ، ۴۰ متر، هدایت هیدرولیکی اشباع خاک، k ، ۲ متر در روز و نهر تهی از آب باشد، افزایش عمق لایه غیرقابل نفوذ از 4 متر به 6 متر باعث

شکل ۶- تأثیر فواصل مختلف بر دبی نشت شده به یک سمت نهر زهکشی. $d/H_0=2$ و $b/H_0=0.25$ شکل ۷- تأثیر عرض نهر زهکش بر دبی نشت شده به نهر زهکشی. $d/H_0=2$ و $S/H_0=10$ شکل ۸- تأثیر عمق لایه غیر قابل نفوذ بر دبی نشت شده به نهر زهکشی. $b/H_0=0.25$ $S/H_0=10$

شرایط مزرعه توجه داشت. هرچه شرایط حاکم در طبیعت با فرضیات در نظر گرفته شده در تحقیق مطابقت بیشتری داشته باشد، نتایج تحلیل با واقعیت نزدیکی بیشتری خواهد داشت و با اطمینان بیشتری می‌توان از آن‌ها در طراحی انهار زهکشی استفاده نمود.

در این تحلیل سطح مقطع در نظر گرفته شده مستطیلی شکل می‌باشد که این شکل سطح مقطع محدودیتی اساسی به حساب می‌آید. ارائه تحلیلی جدید که در آن سطح مقطع نهر زهکشی را

با افزایش فاصله نهرا سرعت نشت در سطح ماندابی و خط تقارن بین دو نهر مجاور کاهش پیدا می‌کند و اختلاف سرعت نشت ورودی در سطح ماندابی افزایش می‌یابد. این مسئله باعث خواهد شد که آبشویی در زمین با توجه به میزان اختلاف در توزیع سرعت نشت غیر یکنواخت صورت گیرد.

تحلیل حاضر با در نظر گرفتن فرضیاتی ارائه شده است که در استفاده از آن در شرایط میدانی می‌بایست به تطابق این فرضیات با

در رابطه فوق $f_a(\zeta)$ ، $f_b(\zeta)$ و $f_c(\zeta)$ به صورت زیر می‌باشند:

$$\begin{aligned} f_a(\zeta) &= \frac{2(\gamma+\eta-\theta)K\left(\sqrt{\frac{1+\delta}{1+\beta}}\right)}{\sqrt{1+\beta}} - \frac{2\beta K\left(\sqrt{\frac{1+\delta}{1+\beta}}\right)}{\sqrt{1+\beta}} \\ &- \frac{2(\gamma+\eta-\theta)F\left(\sqrt{\frac{\zeta+1}{\delta+1}}, \sqrt{\frac{1+\delta}{1+\beta}}\right)}{\sqrt{1+\beta}} \\ &+ \frac{2\beta F\left(\sqrt{\frac{\zeta+1}{\delta+1}}, \sqrt{\frac{1+\delta}{1+\beta}}\right)}{\sqrt{1+\beta}} + \frac{2(1+\beta)E\left(\sqrt{\frac{1+\delta}{1+\beta}}\right)}{\sqrt{1+\beta}} \\ &\frac{2(1+\beta)E\left(\sqrt{\frac{\zeta+1}{\delta+1}}, \sqrt{\frac{1+\delta}{1+\beta}}\right)}{\sqrt{1+\beta}} \\ &+ \frac{2(\theta\gamma-\eta\gamma+\eta\theta-\eta^2)\Pi\left(-\frac{\delta+1}{-1+\eta}, \sqrt{\frac{1+\delta}{1+\beta}}\right)}{(\eta-1)\sqrt{1+\beta}} \\ &- \frac{2(\theta\gamma-\eta\gamma+\eta\theta-\eta^2)\Pi\left(\sqrt{\frac{\zeta+1}{\delta+1}}, -\frac{\delta+1}{\eta-1}, \sqrt{\frac{1+\delta}{1+\beta}}\right)}{(\eta-1)\sqrt{1+\beta}} \end{aligned} \quad (26)$$

(۲۷)

$$\begin{aligned} f_b(\zeta) &= \frac{2F\left(\sqrt{\frac{(\beta+1)(\zeta-\delta)}{(\beta-\delta)(\zeta+1)}}, \sqrt{\frac{\beta-\delta}{\beta+1}}\right)}{\sqrt{\beta+1}} \\ &+ \frac{2(\gamma+\eta-\theta)F\left(\sqrt{\frac{(\beta+1)(\zeta-\delta)}{(\beta-\delta)(\zeta+1)}}, \sqrt{\frac{\beta-\delta}{\beta+1}}\right)}{\sqrt{\beta+1}} \\ &- \frac{2(\delta+1)\Pi\left(\sqrt{\frac{(\beta+1)(\zeta-\delta)}{(\beta-\delta)(\zeta+1)}}, \frac{\beta-\delta}{\beta+1}, \sqrt{\frac{\beta-\delta}{\beta+1}}\right)}{\sqrt{\beta+1}} \\ &+ \frac{2(\theta\gamma-\eta\gamma+\eta\theta-\eta^2)F\left(\sqrt{\frac{(\beta+1)(\zeta-\delta)}{(\beta-\delta)(\zeta+1)}}, \sqrt{\frac{\beta-\delta}{\beta+1}}\right)}{(\eta-1)\sqrt{\beta+1}} \\ &- \frac{2(\theta\gamma-\eta\gamma+\eta\theta-\eta^2)(\delta+1)}{(\eta-1)(\delta+\eta)\sqrt{\beta+1}} \times \\ &\Pi\left(\sqrt{\frac{(\beta+1)(\zeta-\delta)}{(\beta-\delta)(\zeta+1)}}, \frac{\delta-\delta\eta-\beta+\eta\beta}{\beta\delta+\eta\beta+\delta+\eta}, \sqrt{\frac{\beta-\delta}{\beta+1}}\right) \end{aligned}$$

ذوزنقه‌ای شکل در نظر بگیرد این محدودیت را مرتفع خواهد کرد. با استفاده از نگاشت همدیس می‌توان برای سایر شکل‌های سطح مقطع نهر زهکشی روابط سرعت نشت و دبی را استخراج نمود.

پیوست - الف

انتگرال‌های ارائه شده در پیوست با توجه به Byrd and Friedman (1971) حل شده است. در حل این انتگرال‌ها ($K(\cdot)$ ، $E(\cdot)$ و $F(\cdot)$) به ترتیب انتگرال‌های بیضوی کامل نوع اول، دوم و سوم و ($\Pi(\cdot)$) به ترتیب انتگرال‌های بیضوی نوع اول، دوم و سوم می‌باشند، که در این روابط ظاهر شده‌اند. آرگومان‌های ورودی انتگرال‌های بیضوی مطابق با تعاریف ارائه و استفاده شده Byrd and Friedman (1971) می‌باشد.

در رابطه (۵) و سایر روابط، حل I_2 به صورت زیر است.

$$\begin{aligned} I_2 &= \frac{2(\gamma+\eta-\theta)K\left(\sqrt{\frac{1+\delta}{1+\beta}}\right)}{\sqrt{1+\beta}} - \frac{2\beta K\left(\sqrt{\frac{1+\delta}{1+\beta}}\right)}{\sqrt{1+\beta}} \\ &+ \frac{2(\beta-\delta)E\left(\sqrt{\frac{1+\delta}{1+\beta}}\right)}{\left(1-\frac{1+\delta}{1+\beta}\right)\sqrt{1+\beta}} \\ &- \frac{2(\eta^2+\eta\gamma-\gamma\theta-\eta\theta)K\left(\sqrt{\frac{1+\delta}{1+\beta}}\right)}{(\beta+\eta)\sqrt{1+\beta}} \\ &- \frac{2(\eta^2+\eta\gamma-\gamma\theta-\eta\theta)(\beta-\delta)}{(\delta+\eta)(\beta+\eta)\sqrt{1+\beta}} \times \\ &\Pi\left(\frac{\beta+\eta+\beta\delta+\eta\delta}{\delta+\eta+\beta\delta+\eta\beta}, \sqrt{\frac{1+\delta}{1+\beta}}\right) \end{aligned} \quad (23)$$

در رابطه (۱۰) و سایر روابط، I_3 به صورت است.

$$I_3 = \int_0^\zeta \frac{(\theta-t)(t+\gamma)}{\sqrt{\zeta-1}\sqrt{\zeta+\alpha}\sqrt{\zeta+\beta}\sqrt{\zeta+\delta}\sqrt{\zeta}} dt \quad (24)$$

با تغییر متغیر و تفکیک انتگرال I_3 به صورت زیر درآمد.

$$\begin{aligned} I_3 &= \frac{1}{i} \int_0^\delta \frac{f_a(\zeta)d\zeta}{\sqrt{(\zeta+1)(\alpha-\zeta)(\beta-\zeta)(\delta-\zeta)\zeta}} \\ &+ \frac{1}{i} \int_\delta^\beta \frac{f_b(\zeta)d\zeta}{\sqrt{(\zeta+1)(\alpha-\zeta)(\beta-\zeta)(\zeta-\delta)\zeta}} \\ &+ \frac{1}{i} \int_\beta^\alpha \frac{f_c(\zeta)d\zeta}{\sqrt{(\zeta+1)(\alpha-\zeta)(\zeta-\beta)(\zeta-\delta)\zeta}} \end{aligned} \quad (25)$$

$$\begin{aligned}
f_e(\zeta) = & \frac{2(\gamma + \eta - \theta)F\left(\sqrt{\frac{\zeta-1}{\zeta+\delta}}, \sqrt{\frac{\beta-\delta}{\beta+1}}\right)}{\sqrt{\beta+1}} \\
& - \frac{2\delta F\left(\sqrt{\frac{\zeta-1}{\zeta+\delta}}, \sqrt{\frac{\beta-\delta}{\beta+1}}\right)}{\sqrt{\beta+1}} \\
& + \frac{2(\delta+1)\Pi\left(\sqrt{\frac{\zeta-1}{\zeta+\delta}}, 1, \sqrt{\frac{\beta-\delta}{\beta+1}}\right)}{\sqrt{\beta+1}} \\
& + \frac{2(\theta\gamma + \eta\theta - \eta\gamma - \eta^2)F\left(\sqrt{\frac{\zeta-1}{\zeta+\delta}}, \sqrt{\frac{\beta-\delta}{\beta+1}}\right)}{(\delta+\eta)\sqrt{\beta+1}} \\
& + \frac{2(\theta\gamma + \eta\theta - \eta\gamma - \eta^2)(\delta+1)}{(\eta+\delta)(\eta-1)\sqrt{\beta+1}} \times \\
& \quad \Pi\left(\sqrt{\frac{\zeta-1}{\zeta+\delta}}, \frac{\eta+\delta}{\eta-1}, \sqrt{\frac{\beta-\delta}{\beta+1}}\right) \quad (۳۰)
\end{aligned}$$

حل دو انتگرال ارائه شده در رابطه (۱۵)، روابط زیر را به دست می‌دهند:

$$\begin{aligned}
& \int_{\delta}^{\gamma} \frac{(t+\theta)(\gamma-t)dt}{(t+\eta)\sqrt{(t+1)(\beta-t)(t-\delta)}} = \\
& \frac{2F\left(\sqrt{\frac{(\beta+1)(\gamma-\delta)}{(\beta-\delta)(\gamma+1)}}, \sqrt{\frac{\beta-\delta}{\beta+1}}\right)}{\sqrt{\beta+1}} \\
& + \frac{2(\gamma-\theta+\eta)F\left(\sqrt{\frac{(\beta+1)(\gamma-\delta)}{(\beta-\delta)(\gamma+1)}}, \sqrt{\frac{\beta-\delta}{\beta+1}}\right)}{\sqrt{\beta+1}} \\
& - \frac{2(\delta+1)\Pi\left(\sqrt{\frac{(\beta+1)(\gamma-\delta)}{(\beta-\delta)(\gamma+1)}}, \frac{\beta-\delta}{\beta+1}, \sqrt{\frac{\beta-\delta}{\beta+1}}\right)}{\sqrt{\beta+1}} \quad (۳۱) \\
& + \frac{2(\theta\gamma - \eta\gamma + \eta\theta - \eta^2)F\left(\sqrt{\frac{(\beta+1)(\gamma-\delta)}{(\beta-\delta)(\gamma+1)}}, \sqrt{\frac{\beta-\delta}{\beta+1}}\right)}{(\eta-1)\sqrt{\beta+1}} \\
& - \frac{2(\theta\gamma - \eta\gamma + \eta\theta - \eta^2)(\delta+1)}{(\delta+\eta)(\eta-1)\sqrt{\beta+1}} \times \\
& \quad \Pi\left(\sqrt{\frac{(\beta+1)(\gamma-\delta)}{(\beta-\delta)(\gamma+1)}}, \frac{\delta-\eta\delta+\eta\beta-\beta}{\beta\delta+\eta\beta+\delta+\eta}, \sqrt{\frac{\beta-\delta}{\beta+1}}\right) \quad (۳۲)
\end{aligned}$$

$$\begin{aligned}
f_c(\zeta) = & \frac{2(\theta-\gamma-\eta)F\left(\sqrt{\frac{\zeta-\beta}{\zeta-\delta}}, \sqrt{\frac{1+\delta}{1+\beta}}\right)}{\sqrt{\beta+1}} \\
& + \frac{2\delta F\left(\sqrt{\frac{\zeta-\beta}{\zeta-\delta}}, \sqrt{\frac{1+\delta}{1+\beta}}\right)}{\sqrt{\beta+1}} \\
& + \frac{2(\beta-\delta)\Pi\left(\sqrt{\frac{\zeta-\beta}{\zeta-\delta}}, 1, \sqrt{\frac{1+\delta}{1+\beta}}\right)}{\sqrt{\beta+1}} \\
& + \frac{2(-\theta\gamma + \eta\gamma - \eta\theta + \eta^2)F\left(\sqrt{\frac{\zeta-\beta}{\zeta-\delta}}, \sqrt{\frac{1+\delta}{1+\beta}}\right)}{(\delta+\eta)\sqrt{\beta+1}} \\
& - \frac{2(-\theta\gamma + \eta\gamma - \eta\theta + \eta^2)(\beta-\delta)}{(\delta+\eta)(\eta+\beta)\sqrt{\beta+1}} \times \\
& \quad \Pi\left(\sqrt{\frac{\zeta-\beta}{\zeta-\delta}}, \frac{\delta+\eta}{\eta+\beta}, \sqrt{\frac{1+\delta}{1+\beta}}\right) \quad (۲۸)
\end{aligned}$$

صورت زیر تعریف می‌شود.
که در رابطه‌های (۱۷)، (۲۰) و (۲۱) آمده است، به

$$\begin{aligned}
f_d(\zeta) = & \frac{2(\eta+\gamma-\theta)F\left(\sqrt{\frac{(1+\beta)(\zeta+\delta)}{(1+\delta)(\zeta+\beta)}}, \sqrt{\frac{1+\delta}{1+\beta}}\right)}{\sqrt{1+\beta}} \\
& - \frac{2\beta F\left(\sqrt{\frac{(1+\beta)(\zeta+\delta)}{(1+\delta)(\zeta+\beta)}}, \sqrt{\frac{1+\delta}{1+\beta}}\right)}{\sqrt{1+\beta}} \\
& + \frac{2(\beta-\delta)\Pi\left(\sqrt{\frac{(1+\beta)(\zeta+\delta)}{(1+\delta)(\zeta+\beta)}}, \frac{1+\delta}{1+\beta}, \sqrt{\frac{1+\delta}{1+\beta}}\right)}{\sqrt{1+\beta}} \\
& - \frac{2(\eta^2 + \eta\gamma - \theta\eta - \theta\gamma)F\left(\sqrt{\frac{(1+\beta)(\zeta+\delta)}{(1+\delta)(\zeta+\beta)}}, \sqrt{\frac{1+\delta}{1+\beta}}\right)}{(\eta+\beta)\sqrt{1+\beta}} \\
& - \frac{2(\eta^2 + \eta\gamma - \theta\eta - \theta\gamma)(\beta-\delta)}{(\eta+\delta)(\eta+\beta)\sqrt{1+\beta}} \times \\
& \quad \Pi\left(\sqrt{\frac{(1+\beta)(\zeta+\delta)}{(1+\delta)(\zeta+\beta)}}, \frac{\eta+\beta+\beta\delta+\eta\delta}{\eta+\delta+\beta\delta+\eta\beta}, \sqrt{\frac{1+\delta}{1+\beta}}\right), \\
& -\delta < \zeta < 1
\end{aligned} \quad (۲۹)$$

در رابطه (۲۲) $f_e(\zeta)$ به صورت زیر است.

- Barua, G., and Tiwari, K. N. (1996a), Ditch drainage theories for homogeneous anisotropic soil, *Journal of Irrigation and Drainage Engineering*, 122 (5), 276-285.
- Barua, G., and Tiwari, K. N. (1996b), Theories of ditch drainage in layered anisotropic soil, *Journal of Irrigation and Drainage Engineering*, 122 (6), 321-330.
- Bereslavskii, E. N. (2008), Application of the principle of symmetry to the solution of the slichter problem, *Russian Mathematics (Iz. VUZ)*, 52 (2), 1-5.
- Bereslavskii, E. N. (2006), Groundwater flow to a system of drainage canals, *Water Resources*, 33 (4), 417-420.
- Byrd, P. F., and Friedman, M. D. (1971), handbook of elliptic integrals for engineers and scientists (Second Edition, Revised ed.). New York Heidelberg Berlin: Springer-Verlag.
- Chahar, B. R., and Vadodaria, G. P. (2008a), Drainage of ponded surface by an array of ditches, *Journal of Irrigation and Drainage Engineering*, 134 (6), 815-823.
- Chahar, B. R., and Vadodaria, G. P. (2008b), steady subsurface drainage of homogeneous soils by ditches, *Water management*, 161 (6), 303-311.
- Chahar, R., and Vadodaria, G. P. (2011), Steady subsurface drainage of ponded surface by an array of parallel ditches, *Journal of Hydrologic Engineering*, 17 (354), DOI: 10.1061/(ASCE)HE.1943-5584.0000518.
- Donnan, W. W. (1946), Model tests of a tile-spacing formula. *Proc. Soil Sci. Soc. of Am.* (11), 131-136.
- Fukuda, H. (1957), Underdrainage into ditches in soil overlying an impervious substratum, *Trans. Am. Geophys. Union*, 38, 730-739.
- Harr, M. E. (1962), *Groundwater and seepage*. New York: McGraw-Hill.
- Ilyinsky, N. B., and Kacimov, A. R. (1992), Analytical estimation of ground-water flow around cutoff walls and into intreceptor Trenches, *Ground Water*, 30 (6), 901-907.
- Kacimov, A. R. (2006), Seepage to a drainage ditch and optimization of Its shape, *Journal of Irrigation and Drainage Engineering*, 132 (6), 619-622.
- Kacimov, A. R., and Obnosov, Y. V. (2002), Analytical determination of seeping soil slopes of a constant exit gradient, *Z. Angew. Math. Mech. (ZAMM)*, 82 (6), 363-376.
- Kacimov, A. R., and Obnosov, Y. V. (2006), Strip-focused phreatic surface flow driven by evaporation: Analytical solution by the Riesenkampf function, *Advances in Water Resources*, 29, 1565-1571.
- Kirkham, D. (1960), Seepage into ditches from a plane water table overlying a gravel substratum, *Journal of Geophysical Research*, 65 (4), 1267-1272.
- Kirkham, D. (1950), Seepage into ditches in the case of a plane water table and an impervious stratum, *Trans. Am. Geophys. Union* (31), 425-430.
- Kirkham, D. (1965), Seepage of leaching water into

$$\begin{aligned} & \int_{\gamma}^{\beta} \frac{(t+\theta)(t-\gamma)dt}{(t+\eta)\sqrt{(t+1)(\beta-t)(t-\delta)}} = \\ & \frac{2(\theta-\gamma-\eta)K\left(\sqrt{\frac{\beta-\delta}{\beta+1}}\right)}{\sqrt{\beta+1}} - \frac{2K\left(\sqrt{\frac{\beta-\delta}{\beta+1}}\right)}{\sqrt{\beta+1}} \\ & - \frac{2(\theta-\gamma-\eta)F\left(\sqrt{\frac{(\beta+1)(\gamma-\delta)}{(\beta-\delta)(\gamma+1)}}, \sqrt{\frac{\beta-\delta}{\beta+1}}\right)}{\sqrt{\beta+1}} \\ & + \frac{2(\delta+1)E\left(\sqrt{\frac{\beta-\delta}{\beta+1}}\right)}{\left(1-\frac{\beta-\delta}{\beta+1}\right)\sqrt{\beta+1}} + \frac{2F\left(\sqrt{\frac{(\beta+1)(\gamma-\delta)}{(\beta-\delta)(\gamma+1)}}, \sqrt{\frac{\beta-\delta}{\beta+1}}\right)}{\sqrt{\beta+1}} \\ & + \frac{2(\eta\gamma-\theta\gamma-\eta\theta+\eta^2)K\left(\sqrt{\frac{\beta-\delta}{\beta+1}}\right)}{(\eta-1)\sqrt{\beta+1}} \\ & - \frac{2(\delta+1)\Pi\left(\sqrt{\frac{(\beta+1)(\gamma-\delta)}{(\beta-\delta)(\gamma+1)}}, \frac{\beta-\delta}{\beta+1}, \sqrt{\frac{\beta-\delta}{\beta+1}}\right)}{\sqrt{\beta+1}} \\ & - \frac{2(\eta\gamma-\theta\gamma-\eta\theta+\eta^2)F\left(\sqrt{\frac{(\beta+1)(\gamma-\delta)}{(\beta-\delta)(\gamma+1)}}, \sqrt{\frac{\beta-\delta}{\beta+1}}\right)}{(\eta-1)\sqrt{\beta+1}} \\ & - \frac{2(\eta\gamma-\theta\gamma-\eta\theta+\eta^2)(\delta+1)}{(\delta+\eta)(\eta-1)\sqrt{\beta+1}} \times \\ & \quad \Pi\left(\frac{\delta-\eta\delta+\eta\beta-\beta}{\beta\delta+\eta\beta+\delta+\eta}, \sqrt{\frac{\beta-\delta}{\beta+1}}\right) \\ & + \frac{2(\eta\gamma-\theta\gamma-\eta\theta+\eta^2)(\delta+1)}{(\delta+\eta)(\eta-1)\sqrt{\beta+1}} \times \\ & \quad \Pi\left(\sqrt{\frac{(\beta+1)(\gamma-\delta)}{(\beta-\delta)(\gamma+1)}}, \frac{\delta-\eta\delta+\eta\beta-\beta}{\beta\delta+\eta\beta+\delta+\eta}, \sqrt{\frac{\beta-\delta}{\beta+1}}\right) \end{aligned}$$

برای اطلاع بیشتر از جزئیات و نحوه دستیابی روابط ارائه شده در این تحقیق به افروزی (۱۳۹۰) مراجعه شود.

مراجع

- افروزی، علی (۱۳۹۰)، حل تحلیلی نشت از اراضی ماندابی به کانال‌های زهکشی، پایان‌نامه کارشناسی ارشد، دانشگاه تبریز.
- Aronovici, V. S., and Donnan, W. W. (1946), Soil permeability as a criterion for drainage design, *Trans. Am. Geophys. Union*, 27 (1), 95-101.
- Barua, G., and Tiwari, K. N. (1995), Analytical solutions of seepage into ditches from ponded fields, *Journal of Irrigation and Drainage Engineering*, 121 (6), 396-404.

- Irrigation and Drainage Engineering, 117 (2), 184-200.
- Strack, O. D. (1989), Groundwater mechanics. Englewood Cliffs, New Jersey: Prentice-Hall.
- van Schilfgaarde, J., Kirkham, D., and Frevert, R. K. (1956), Physical and mathematical theories of tile and ditch drainage and their usefulness in design, Iowa Agr. Exp. Sta. Res. Bull., 436, 667-706.
- Warrick, A. W., and Kirkham, D. (1969), Two-dimensional seepage of ponded water to full ditch drains, Water Resources Research, 5 (3), 685-693.
- Youngs, E. G. (1982), Calculations of ponded water drainage for flow regions of various geometries to demonstrate effect of disturbed soil-zone shape on drain performance, Journal of Agricultural Engineering Research, 27, 441-454.
- Youngs, E. (1992), Patterns of steady groundwater movement in bounded unconfined aquifers, Journal of Hydrology, 131 (3), 239-253.
- Youngs, E. (1994), Seepage to ditches from a ponded surface, Journal of Hydrology, 161 (3), 145-154.
- Youngs, E. (1975), The effect of the depth of an impermeable barrier on water-table heights in drained homogeneous soils, Journal of Hydrology, 24, 283-290.
- drainage ditches of unequal water level heights, Journal of Hydrology (3), 207-224.
- Kirkham, D. (1958), Seepage of steady rainfall through soil into drains, Trans. Am. Geophys. Union, 39, 892-908.
- Kirkham, D. (1966), Steady-state theories for land drainage, J. Irrig. Drain. Div. Proc., 92 (1), 19-39.
- Kirkham, D., and Powers, W. (1964), An exact theory of seepage of steady rainfall into tile and ditch drained land of finite depth, 8th Int. Congr. for Soil Sci., II, pp. 39-44. Bucharest.
- Kirkham, D., and Van Bavel, C. (1948), Theory of seepage into auger holes, Proc., Soil Sci. Soc. of Am. (J-1625), 75-81.
- Luthin, J. N. (1966), Drainage engineering. New York: John Wiley & Sons.
- Polubarnova-Kochina, P. Y. (1962), Theory of ground water movement. (J. M. Roger De Wiest, Trans.) Princeton, New Jersey: Princeton University Press.
- Römkens, M. J. (2009), Estimating seepage and hydraulic potentials near incised ditches in a homogeneous, isotropic aquifer, Earth Surf. Process. Landforms, 34, 1903–1914.
- Sharma, H. C., Chauhan, H. S., Kapoor, P. N., and Ram, S. (1991), Ditch drainage in layered soils, Journal of

تاریخ دریافت: ۹۱/۳/۲۳
تاریخ پذیرش: ۹۱/۱۲/۲۳

Analytical Computation of Seepage from Ponded Fields into Drainage Ditches Using Conformal Mapping

A. Afruzi^{1,*}, A. H. Nazemi², A. Sadraddini³ and A. Ranjbari⁴

Abstract

Drainage of agricultural lands is very important and without drainage a sustainable agriculture isn't possible. In the absence of natural drainage in agricultural lands, artificial drainage is necessary. Construction of drainage ditches is one of the usual methods of artificial drainage. Study of the governing equations of flow to drainage systems is an interesting subject to researchers. In this study, an analytical solution for steady-state seepage of ponded water into drainage ditches is developed. The ditches are partly penetrating, parallel to each other and excavated by rectangular cross section in a homogeneous and isotropic soil layer. In order to derive the relevant equations of seepage quantities and velocities, first hodograph and complex potential planes were drawn with attention to the boundary conditions of physical plane; then the conformal mappings of physical and hodograph planes on auxiliary planes were found using Schwarz-Christoffel transformation. The chain rule was used to find the relation between complex potential plane and auxiliary plane. This method can be used to calculate the seepage quantities and velocities as well as ditches drainage designing. The results showed that near the ditches, seepage velocity along the ponded surface was very high as compared with that between the ditches, so leaching was non-uniform.

Key words: Analytical solution, Conformal mapping, Ditches, Drainage, Schwarz-Christoffel transformation, seepage.

1- Former Graduate Student of Water Engineering Dept., Irrigation and Drainage Engineer and University of Tabriz
(* - Corresponding Author Email: a.afruzi@gmail.com)

2,3- Prof. and Associate Prof. of Water Engineering Dept., Faculty of Agriculture, University of Tabriz

3- Assistant Prof. of Faculty of Mathematical Science, University of Tabriz